

미세협착을 지나는 혈액유동의 유체역학적 특성 연구

지호성* · 이상준*

Blood flow characteristics through a micro stenosis

Ho Seong Ji*, Sang Joon Lee*

1. 서 론

다양한 병리적 현상과 생리학적인 요인에 의하여 혈관의 직경이 갑작스럽게 감소하는 협착이 발생한다. 이런 협착(stenosis)부위에서의 혈류유동의 유체역학적 특성에 대한 정보는 순환기 질환을 치유하는데 있어서 매우 중요하다⁽¹⁾. Siouffi 등⁽²⁾은 관의 절반이 막힌 50% 협착을 지나는 유동에 대해 초음파 센서를 이용하여 속도분포를 측정하였다. 그리고 Suh 등⁽³⁾과 Son 등⁽⁴⁾은 수치해석적 방법으로 협착이 있는 혈관내부 혈류유동에 대하여 맥동유동 특성과 압력순실계수 변화를 연구하였다. 그동안 협착을 지닌 혈관 내부의 유동구조 및 혈액거동에 대한 연구가 수행되었으나, 미세협착(micro-stenosis)에 대한 연구는 아직까지 미흡한 실정이다.

따라서 본 연구에서는 미세협착을 가진 마이크로 채널 내부를 흐르는 혈류유동의 유체역학적 특성을 Micro-PIV 기법을 이용하여 관찰하고자 한다. 본 연구를 통하여 얻은 결과들은 미세 협착을 지나는 혈류의 유체역학적 특성을 연구하는데 기초자료로 활용될 수 있을 것이다.

2. 실험장치 및 실험방법

Fig. 1은 혈액유동에 대한 마이크로PIV실험에 적용한 실험장치 구성의 개략도를 나타낸 것이다. 실험 장치는 12bit cooled CCD 카메라, 도립형 현미경, 2 head pulsed 레이저, 동기장치 그리고 시린지 펌프로 구성하였다. 실험에 적용한 혈액은 5%헤마토크리트를 지니도록 혈장과 혈구로 조절하였으며, 준비된 혈액에 700nm의

직경을 지닌 형광입자를 투입하였다.

Fig. 2는 실험에 적용한 미세협착 채널의 형상에 대한 개략도를 나타낸 것이다. 이때 각 좌표 및 치수의 단위는 μm 이며, 채널의 PDMS를 이용하여 제작하였다.

3. 결과 및 고찰

Fig. 3은 고해상도 고속카메라를 이용하여 미세협착이 있는 마이크로 채널 내부를 흐르는 혈액의 유동을 촬영한 영상이나. 적혈구의 형상을 명확하게 관찰할 수 있다. 이때 미세협착을 지나는 혈액유동을 관찰한 결과 미세협착부분을 통과할 때 적혈구의 구름현상(rolling)을 관찰할 수 있었다.

Fig. 4는 혈류량 $Q=50\mu\text{l}/\text{h}$ 일 때 채널을 지나는 혈류유동에 대해 micro PIV측정결과를 통계처리 하여 획득한 평균속도분포의 결과를 나타낸 것이다. 채널 내부의 속도분포를 살펴보면 매우 대칭적인 형상을 지니고 있으며, 최대속도는 미세협착의 중심영역에서 발생하는 것을 관찰할 수 있다. Fig. 5는 직선채널부위의 축방향 속도와 이때 전단율 분포를 표현한 것이다.

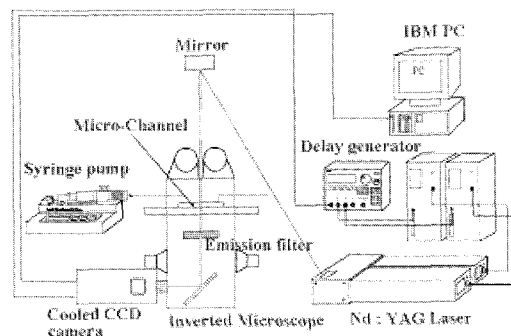


Fig.1 Experimental set-up

* 포항공과대학교 기계공학부

뉴턴유체의 특성을 지니는 종류수에 대한 결과와 비교하였을 때, 그 축방향 속도가 지니는 형상이 약간 풍북한 형상을 지니고 있는 것을 확인할 수 있다. 그리고 전단율의 형태는 비뉴턴 유체의 특성을 지니고 있으며, 그 기울기가 크게 두 가지로 나뉘는 것을 확인할 수 있다.

4. 결론

미세혈착부위를 지닌 마이크로 채널 내부에서의 혈액(H5%)유동의 유체역학적 특성에 대한 실험결과 다음과 같이 요약할 수 있다.

1) 혈액이 지니고 있는 아민기와 형광입자가 지니고 있는 카복실기 사이에서 발생하는 응집현상을 방지하여 혈액유동에 대한 마이크로 PIV실험을 성공적으로 적용하였다.

2) 직선채널에서의 무차원 속도분포와 무차원 전단율 분포에 대한 결과를 통하여 혈류유동은 비뉴턴유체의 특성을 지니고 있으며, 그 전단율에 대한 기울기 분포를 통하여 혈구가 상대적으로 회박한 혈장층의 분포를 추정할 수 있다.

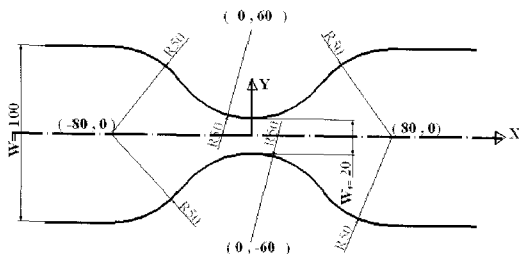


Fig. 2 Schematic diagram of microchannel with a micro stenosis



Fig. 3 Original image of blood(H5%) flow through a micro stenosis

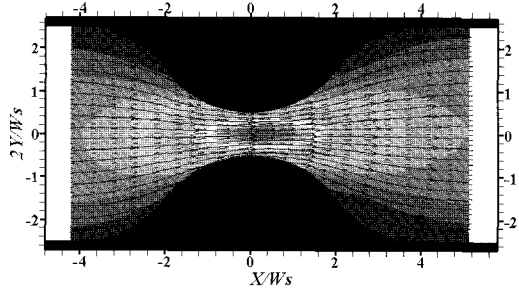


Fig. 4 Velocity vector field in a micro stenosis

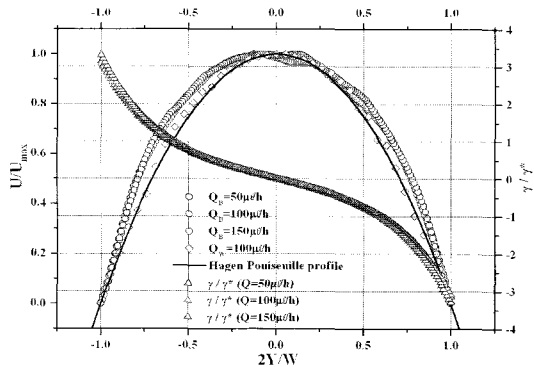


Fig. 5 Axial velocity and shear rate profile in a straight channel

참고 문헌

- (1) Baskurts O.K. and Meiselman H., 2003, Blood rheology and hemodynamics, Semina in Thrombosis and Hemostasis, Vol. 29, pp. 435-450
- (2) Siouffi M., Deplano V. and Pelissier R., 1998, Experimental analysis of unsteady flow through a stenosis, Journal of Biomechanics, Vol. 31, pp. 11-19
- (3) Suh S.H., Yoo S.S. and Chang N.I., 1996, A study on the pressure loss coefficient of non-Newtonian fluids in the stenotic tubes, Journal of KSME(B), Vol. 20, pp 1603-1612
- (4) Sohn J.L., Joo S.W., Suh S.H. and Shim E.B., 2002, Pulsatile flow in the artery with stenosis, Journal of KSME(B), Vol. 26, pp 39-44